

## ЛИТЕРАТУРА

1. Лунц Я. Л. Распространение сферических упругопластических волн.— ПММ, 1949, т. 13, № 1.
2. Зволинский Н. В. Сб излучении упругой волны при сферическом взрыве в грунте.— ПММ, 1960, т. 24, № 1.
3. Григорян С. С., Пачевский Я. А. О действии сильного подземного взрыва в плотной горной породе.— ДАН СССР, 1973, т. 212, № 2.
4. Механический эффект подземного взрыва/Под ред. М. А. Садовского.— М., 1971.
5. Коротков П. Ф., Просвирина Б. М. Численное исследование взрыва в упругопластической среде и некоторые вопросы моделирования.— ДАН СССР, 1976, т. 228, № 1.
6. Якупов Р. Г. Сферическая взрывная волна в грунтах.— ФГВ, 1976, т. 12, № 5.
7. Сагомонян А. Я., Гарбер П. М. Взрыв сферического слоя заряда в пластически сжимаемой среде.— Вестн. МГУ. Сер. 1. Математика и механика, 1974, № 3.
8. Рахматулин Х. А., Сагомонян А. Я., Алексеев Н. А. Вопросы динамики грунтов.— М.: Изд-во МГУ, 1964.
9. Атабаев К., Мамадалиев Н. Распространение одномерной пластической волны в среде с линейной и ломаной разгрузками.— ПМТФ, 1981, № 3.
10. Мамадалиев Н., Юсупов А. И. О распространении одномерных упругопластических волн в грунтах.— ПМТФ, 1982, № 5.
11. Мамадалиев Н., Молев В. И. О распространении двумерной пластической волны в нелинейно-сжимаемой полуплоскости.— ПМТФ, 1977, № 4.

Поступила 12/II 1985 г.

УДК 532.539+624.131

## ЦИЛИНДРИЧЕСКИЕ ВЗРЫВНЫЕ ВОЛНЫ В ГРУНТАХ

A. A. Вовк, I. A. Лучко, Г. М. Ляхов,  
B. A. Плаксий, H. C. Ремез

(Москва, Киев)

Цель многих исследований в области динамики грунтов, горных пород, льда, снега и других многокомпонентных пористых сред в последние годы — построение моделей для описания волновых процессов. При этом оказалось недостаточным основываться на применении классической теории пластичности или линейной вязкоупругости. Экспериментальное изучение распространения и взаимодействия взрывных и слабых продольных волн, а также деформирования образцов при разных скоростях нагружения показывает, что свойства многокомпонентных пористых сред более многообразны, их надо рассматривать как нелинейные вязкоупругие среды с переменной вязкостью.

Ниже на основе модели [1], учитывающей эти свойства, получено численное решение осесимметричной задачи о распространении взрывной волны в грунте. Определены параметры волны на разных расстояниях от взрыва, получена зависимость интенсивности угасания волны от содержания компонентов, построены графики  $p(\varepsilon)$  объемного деформирования частиц при распространении волны. Проведено сопоставление результатов расчета на ЭВМ с данными опытов, подтверждающее применимость модели к различным грунтам.

Численное решение задачи о распространении сферической взрывной волны, согласно модели [1], дано в [2], а о деформировании грунта заданной переменной нагрузкой — в [3].

При численном решении задачи использована конечно-разностная схема счета с искусственной вязкостью, разработанная для упругопластических сред [4] и распространенная на нелинейные вязкоупругие и вязкоупругие среды [2].

1. В соответствии с моделью [1] грунт рассматривается как трехкомпонентная среда. Первый компонент — свободное поровое пространство, заполненное воздухом, второй — вода, третий — твердые минеральные частицы. Обозначим  $\alpha_1$ ,  $\alpha_2$ ,  $\alpha_3$  начальное объемное содержание соответствующих компонентов,  $\alpha_1 + \alpha_2 + \alpha_3 = 1$ . Сжимаемость первого компонента определяется условием разрушения и переукладки твердых и жидкых частиц при нагружении, она существенно меньше сжимаемости порового воздуха. Вязкие свойства и диссиляция энергии связаны с немгновенностью процесса переукладки, с внутренним трением.

Объемная деформация среды  $\varepsilon$  определяется объемной деформацией компонентов  $\varepsilon_i$ . Обозначим  $\rho_0$  плотность среды, а  $\rho_i$  — компонентов:

$$\varepsilon = \alpha_1 \varepsilon_1 + \alpha_2 \varepsilon_2 + \alpha_3 \varepsilon_3, \quad \rho_0 = \alpha_1 \rho_1 + \alpha_2 \rho_2 + \alpha_3 \rho_3.$$

Уравнения статического сжатия компонентов при  $p \rightarrow 0$  аппроксимируются уравнениями Тэта:  
свободное поровое пространство

$$p - p_0 = f_S(\varepsilon_1) = \frac{\rho_0 C_S^2}{\gamma_S} \left[ (\varepsilon_1 + 1)^{-\gamma_S} - 1 \right];$$

остальные компоненты

$$p - p_0 = \frac{\rho_i C_i^2}{\gamma_i} \left[ (\varepsilon_i + 1)^{-\gamma_i} - 1 \right] \quad (i = 2, 3).$$

Здесь  $p - p_0$  — давление;  $\rho_i C_i^2, \rho_0 C_S^2$  — модули объемного сжатия компонентов. Уравнение динамического сжатия свободного порового пространства при  $p \rightarrow \infty$  принято в виде

$$p - p_0 = f_D(\varepsilon_1) = f_S(\varepsilon_1) + k\varepsilon_1, \quad k < 0.$$

Уравнения сжимаемости остальных компонентов не зависят от скорости нагружения.

При этих условиях уравнение объемного сжатия среды

$$(1.1) \quad \dot{\varepsilon} = \frac{\dot{V}}{V_0} = \varphi(p, V) \dot{p} - \frac{\alpha_1 \lambda(p, V)}{\eta} \dot{\psi}(p, V),$$

где

$$\begin{aligned} \varphi(p, V) &= \alpha_1 \left( \frac{df_D}{d\varepsilon_1} \right)^{-1} - \sum_{i=2}^3 \frac{\alpha_i}{\rho_i C_i^2} \left[ \frac{\gamma_i(p - p_0)}{\rho_i C_i^2} + 1 \right]^{-\frac{1+\gamma_i}{\gamma_i}}; \\ \lambda(p, V) &= \frac{df_S}{d\varepsilon_1} \left( \frac{df_D}{d\varepsilon_1} \right)^{-1}, \quad \psi(p, V) = p - p_0 - f_S(\varepsilon_1); \\ \varepsilon &= \frac{V - V_0}{V_0}; \quad V_0 = \frac{1}{\rho_0}; \quad \varepsilon_1 = \frac{1}{\alpha_1} \left\{ \frac{V}{V_0} - \sum_{i=2}^3 \left[ \frac{\gamma_i(p - p_0)}{\rho_i C_i^2} + 1 \right]^{-\frac{1}{\gamma_i}} \right\} - 1; \end{aligned}$$

$\eta$  — коэффициент объемной вязкости.

В модели учитывается различие уравнений сжатия и разгрузки свободного порового пространства. Уравнения сжатия и разгрузки остальных компонентов принимаются одинаковыми. Разгрузка свободного порового пространства происходит согласно соотношениям

$$(1.2) \quad \begin{aligned} \varepsilon_1 + 1 &= \left[ \frac{\gamma_R(p - p_0)}{\rho_0 C_R^2} + 1 \right]^{-\frac{1}{\gamma_R}} + \left[ \frac{\gamma_S(p_m - p_0)}{\rho_0 C_S^2} + 1 \right]^{-\frac{1}{\gamma_S}} - \\ &- \left[ \frac{\gamma_R(p_m - p_0)}{\rho_0 C_R^2} + 1 \right]^{-\frac{1}{\gamma_R}}, \quad 1 + \varepsilon_{1m} = \left[ \frac{\gamma_S(p_m - p_0)}{\rho_0 C_S^2} + 1 \right]^{-\frac{1}{\gamma_S}}. \end{aligned}$$

Разгрузка начинается, когда деформация свободного порового пространства достигает максимального значения  $\varepsilon_{1m}$ . Уравнение объемной разгрузки среды имеет вид (1.1), где

$$\begin{aligned} \varphi(p, V) &= \alpha_1 \left( \frac{df_D}{d\varepsilon_1} - \frac{df_S}{d\varepsilon_1} + \frac{df_R}{d\varepsilon_1} \right)^{-1} - \sum_{i=2}^3 \frac{\alpha_i}{\rho_i C_i^2} \left[ \frac{\gamma_i(p - p_0)}{\rho_i C_i^2} + 1 \right]^{-\frac{1+\gamma_i}{\gamma_i}}, \\ \lambda(p, V) &= \left( \frac{df_D}{d\varepsilon_1} - \frac{df_S}{d\varepsilon_1} \right) \left( \frac{df_D}{d\varepsilon_1} - \frac{df_S}{d\varepsilon_1} + \frac{df_R}{d\varepsilon_1} \right)^{-1}, \quad \psi(p, V) = p - p_0 - f_R(\varepsilon_1), \end{aligned}$$

$$f_R(\varepsilon_1) = \frac{\rho_0 C_R^2}{\gamma_R} \left[ \left\{ \varepsilon_1 + 1 - \left[ \frac{\gamma_S(p_m - p_0)}{\rho_0 C_S^2} + 1 \right]^{-\frac{1}{\gamma_S}} + \left[ \frac{\gamma_R(p_m - p_0)}{\rho_0 C_R^2} + 1 \right]^{-\frac{1}{\gamma_R}} \right\}^{-\gamma_R} - 1 \right].$$

Условие пластичности соответствует условию Мизеса—Шлейхера

$$(1.3) \quad S_r := \frac{k^*(p - p_0)}{1 + \frac{k^*(p - p_0)}{p^* - p_0}}, \quad S_r = \sigma_r + p - p_0, \quad p - p_0 = -\frac{1}{3}(\sigma_r + \sigma_\theta + \sigma_z).$$

Величины  $k^*$  и  $p^*$  определяются по экспериментальным значениям коэффициента бокового давления  $k_\tau = \sigma_\theta/\sigma_r$ . Принято, что радиальное  $\sigma_r$ , боковое  $\sigma_\theta$  и осевое  $\sigma_z$  напряжения связаны условием

$$(1.4) \quad \sigma_z = \frac{1}{2}(\sigma_r + \sigma_\theta).$$

Ниже рассматривается камуфлетный взрыв цилиндрического заряда при условии, что взрывчатое превращение ВВ и расширение продуктов детонации происходят по схеме мгновенной волновой детонации. При детонации во всем объеме заряда мгновенно устанавливаются давление  $p_n$  и плотность продуктов детонации  $\rho_n$ , равная начальной плотности ВВ. В дальнейшем рассматривается волновой процесс, включающий распространение по грунту взрывной волны, а по продуктам детонации — волны разрежения и сжатия. Расширение продуктов детонации происходит по двучленному изэнтроническому уравнению состояния [5—7]

$$(1.5) \quad p - p_0 = A\rho^n + B\rho^\gamma.$$

Для тротила  $\rho_n = 1600 \text{ кг}/\text{м}^3$ ,  $Q = 1000 \text{ ккал}/\text{кг}$ ,  $n = 3,12$ ,  $\gamma = 1,25$ ,  $A = 0,88 \text{ Н}/\text{м}^2 (\text{кг}/\text{м}^3)^{-n}$ ,  $B = 0,62 \cdot 10^5 \text{ Н}/\text{м}^2 (\text{кг}/\text{м}^3)^{-\gamma}$ .

При описании движения продуктов детонации часто используется одночленное изэнтропическое уравнение состояния  $p - p_0 = A\rho^n$ , в котором при больших плотностях продуктов взрыва  $n = 3$ . Однако при достаточно большом расширении показатель степени  $n$  должен уменьшиться примерно в 2 раза до значения, соответствующего разреженному газу. Это обстоятельство ограничивает применение последнего уравнения областью высоких давлений. В (1.5) при высоких давлениях определяющим является первый член, а при малых — второй, что позволяет применять уравнение во всем процессе расширения продуктов взрыва.

Основные уравнения движения сплошной среды в переменных Эйлера  $r, t$  имеют вид

$$(1.6) \quad \begin{aligned} \frac{\partial \rho}{\partial t} + u \frac{\partial \rho}{\partial r} + \rho \frac{\partial u}{\partial r} + \frac{u \rho}{r} &= 0, \\ \rho \left( \frac{\partial u}{\partial t} + u \frac{\partial u}{\partial r} \right) - \frac{\partial \sigma_r}{\partial r} - \frac{\sigma_r - \sigma_\theta}{r} &= 0, \end{aligned}$$

где  $u$  — скорость частиц.

Соотношения (1.1), (1.3), (1.4), (1.6) образуют замкнутую систему уравнений движения грунта. Замкнутая система уравнений движения продуктов детонации включает (1.6) и (1.5).

Начальные условия задачи:  $u = 0, p = p_n, \rho = \rho_n$  при  $0 \leq r \leq r_0$ ;  $u = 0, \rho = \rho_0 = 1/V_0, p = p_0$  при  $r_0 < r$ , где  $r_0$  — радиус заряда ВВ. На границе камуфлетной полости напряжение  $\sigma_r$  и скорость  $u$  непрерывны.

Используемая при решении задачи на ЭВМ схема счета с искусственной вязкостью позволяет учитывать соотношения на скачке неявно. По-

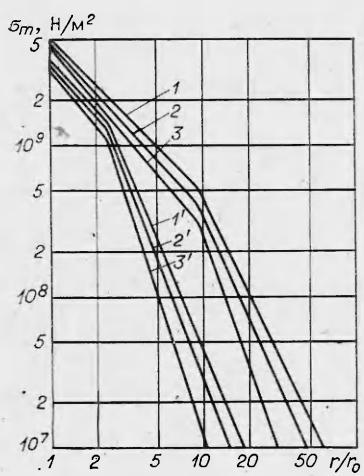


Рис. 1

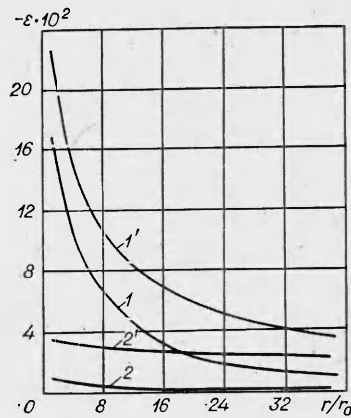


Рис. 2

верхность разрыва заменяется тонким переходным слоем, в котором величины меняются быстро, но непрерывно. В то же время соотношения на фронте ударной волны остаются в силе для переходного слоя. Условие устойчивости соответствует видоизмененной форме устойчивости Неймана и Рихтмайера [8].

2. Решение проведено для двух грунтов — неводонасыщенного песка средней плотности и водонасыщенной глины. Расчетные характеристики песчаного грунта: плотность  $\rho_0 = 1660 \text{ кг}/\text{м}^3$ , влажность  $w = 0,12$ ,  $\alpha_1 = 0,3$ ,  $\alpha_2 = 0,18$ ,  $\alpha_3 = 0,52$ ,  $\rho_0 C_S^2 = 9 \cdot 10^6 \text{ Н}/\text{м}^2$ ,  $k = -4 \cdot 10^7 \text{ Н}/\text{м}^2$ ,  $\rho_0 \cdot C_D^2 = 4,9 \cdot 10^7 \text{ Н}/\text{м}^2$ ,  $\gamma_s = 10$ ,  $\gamma_R = \gamma_s + 1$ ,  $\eta = 2000 \text{ Нс}/\text{м}^2$ . Характеристики глины:  $\rho_0 = 2030 \text{ кг}/\text{м}^3$ ,  $w = 0,37$ ,  $\alpha_1 = 0,03$ ,  $\alpha_2 = 0,33$ ,  $\alpha_3 = 0,64$ ,  $\rho_0 C_S^2 = 3 \cdot 10^7 \text{ Н}/\text{м}^2$ ,  $k = -3,7 \cdot 10^9 \text{ Н}/\text{м}^2$ ,  $\rho_0 C_D^2 = 3,77 \cdot 10^9 \text{ Н}/\text{м}^2$ ,  $\gamma_s = 4$ ,  $\gamma_R = \gamma_s + 1$ ,  $\eta = 1200 \text{ Нс}/\text{м}^2$ . Эти значения примерно соответствуют параметрам глины, в которой проводились опыты с цилиндрическими зарядами ВВ [9].

Для обоих грунтов принимается  $\rho_2 = 1000 \text{ кг}/\text{м}^3$ ,  $C_2 = 1500 \text{ м}/\text{с}$ ,  $\rho_3 = 2650 \text{ кг}/\text{м}^3$ ,  $C_3 = 5000 \text{ м}/\text{с}$ ,  $\gamma_2 = 7$ ,  $\gamma_3 = 5$ . Радиус заряда ВВ 0,1 м.

Коэффициент объемной вязкости  $\eta$  — переменная величина. В расчетах приняты осредненные постоянные его значения, избранные по аналогии с суглинистыми и песчаными грунтами [1, 6]. Расчеты [2] показывают, что изменение  $\eta$  в 50 раз меняет основные параметры волны при сферическом взрыве на расстояниях, где максимальное напряжение  $\sigma$ , порядка  $100 \cdot 10^5 \text{ Н}/\text{м}^2$ , лишь на 20–30%.

Рассмотрим результаты расчета. На рис. 1 линиями 1—3 представлены зависимости максимальных значений  $\sigma_r$ ,  $p$  и  $\sigma_\theta$  от относительного расстояния  $r/r_0$  (здесь и на рис. 2 цифры без штрихов соответствуют глине, со штрихами — песку). Расчеты показывают, что угасание волн на разных расстояниях происходит с разной интенсивностью. При этом интенсивность может с расстоянием убывать и возрастать. В неводонасыщенном песке с большим  $\alpha_1$  интенсивность угасания на всех расстояниях существенно выше, чем в водонасыщенной глине с малым  $\alpha_1$ . Подобная зависимость угасания волн от  $\alpha_1$  соответствует опытам [6].

На рис. 2 приведена зависимость максимальной объемной деформации  $\varepsilon_m$  (1 и 1') и остаточной деформации  $\varepsilon_R$  (2 и 2') от расстояния в глине и в песке. В среде с большим объемом свободного порового пространства  $\varepsilon_m$  и  $\varepsilon_R$  на всех расстояниях существенно больше. На малых расстояниях в обоих грунтах  $\varepsilon_m \gg \varepsilon_R$ , на больших различие этих величин значительно меньше. Вблизи газовой камеры  $\varepsilon_R < \alpha_1$ . При больших давлениях у границы заряда ВВ после сжатия происходит разуплотнение грунта. Эти результаты соответствуют опытным данным.

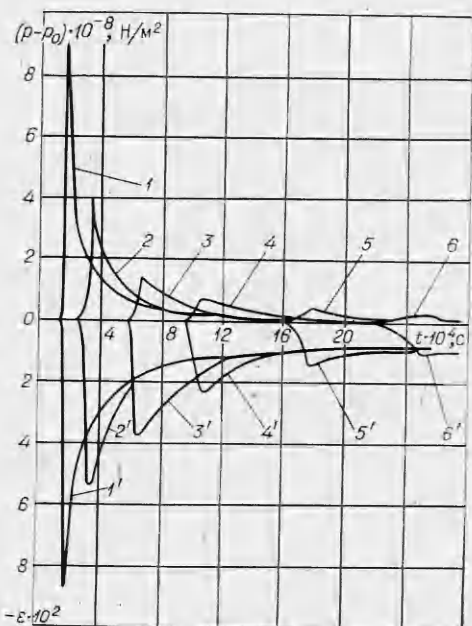


Рис. 3

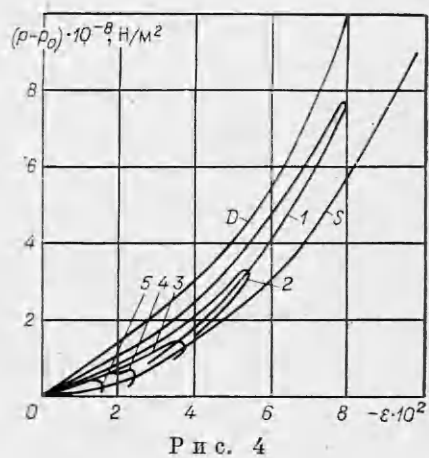


Рис. 4

$t \cdot 10^{-3}$ , с	$r_n/r_0$	
	Песок	Глина
0,5	2,5	2
1	3,4	2,7
2	4,4	3,4
4	5,4	4,2
6	5,9	4,6
8	6,5	—
10	7	—

На рис. 3 показано изменение давления и деформации (линии без штрихов и со штрихами) во времени в частицах глинистого грунта при прохождении волны. Кривые 1, 1'—6, 6' отвечают  $r/r_0 = 5,47; 9,07; 15,07; 21,07; 30,67$  и 39. Вблизи заряда ВВ взрывная волна ударная, давление нарастает скачком. С удалением от места взрыва происходит ее размывание, время нарастания давления до максимума и ее общая длительность растут. Волна превращается в непрерывную волну сжатия. Убывание с расстоянием максимального давления происходит интенсивнее, чем максимальной деформации.

На рис. 4  $D$  и  $S$  — предельные динамическая и статическая диаграммы объемного сжатия глинистого грунта, соответствующие  $p \rightarrow \infty$  и  $p \rightarrow 0$ . Кривые 1—5 определяют изменение состояния среды при прохождении волны на тех же расстояниях, что и на рис. 3. Они построены по зависимостям  $p(t)$  и  $\varepsilon(t)$  (рис. 3) исключением времени. С удалением от взрыва диаграммы объемного сжатия частиц  $p(\varepsilon)$  удаляются от динамической диаграммы и приближаются к статической согласно увеличению времени нарастания давления.

На рис. 5  $D$  и  $S$  — предельные диаграммы объемного сжатия песчаного грунта, а кривые 1—5 — диаграммы объемного сжатия и разгрузки, реализуемые на тех же расстояниях, что и в глине на рис. 4. Здесь кривые  $p(\varepsilon)$  также приближаются к предельной статической диаграмме по мере удаления точек от взрыва. В песке более, чем в глине, заметно запаздывание развития деформаций относительно давления, что связано с большей свободной пористостью. Диаграммы сжатия в глине проходят существенно ближе к оси напряжений, чем в песке, вследствие меньшей сжимаемости глинистого грунта.

При решении задачи определялось также изменение со временем безразмерного радиуса газовой камеры (полости)  $r_n/r_0$ , где  $r_n$  — размерный радиус камеры. Результаты расчета приведены в таблице. Предельный радиус в песке и глине  $\sim 8,5$  и 6.

Объем газовой камеры зависит от сжимаемости грунта: с уменьшением сжимаемости он уменьшается. Предельные значения радиуса соответствуют опытным данным [6].

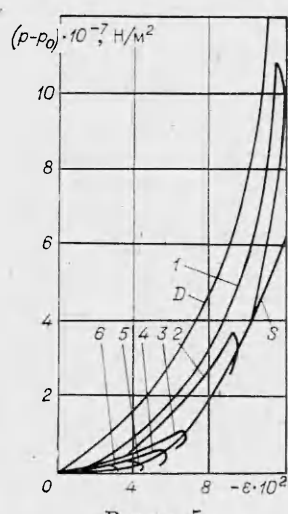


Рис. 5

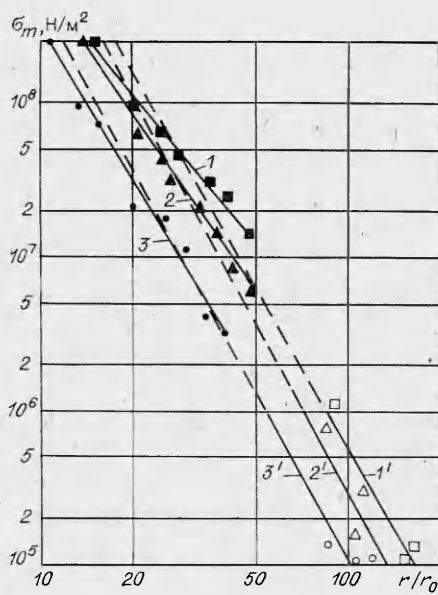


Рис. 6 →

На рис. 6 дана зависимость максимальных значений главных напряжений от расстояния в глинистом грунте. Кривые 1, 1' — 3, 3' относятся к  $\sigma_n$ ,  $\sigma_z$  и  $\sigma_\theta$ , цифры без штрихов — к расчетам, а со штрихами — к экспериментам [9]. Опыты проводились в глинистом грунте (Гжель) с тем же содержанием компонентов, что приняты в расчетах. Экспериментальные точки получены при  $r/r_0 > 80—90$ , а расчетные — при  $r/r_0 < 50$ . Для удобства сравнения линии 1' — 3' продолжены до расчетных точек. Сопоставление свидетельствует об удовлетворительном соответствии расчета и эксперимента.

Модель среды [1] отражает основные свойства грунтов, определяющие их поведение при действии взрывных нагрузок. С ее помощью можно получить численные решения ряда динамических задач, имеющих практический интерес. Однако для этого необходимо экспериментальное определение уравнений и постоянных модели для различных сред.

Согласие расчетных и опытных данных показывает также, что конструирование модели нелинейной вязкопластической среды возможно без введения функционалов, определяемых историей деформирования. Это обстоятельство сильно упрощает решение динамических задач.

#### ЛИТЕРАТУРА

- Ляхов Г. М. Волны в грунтах и пористых многокомпонентных средах.— М.: Наука, 1982.
- Крымский А. В., Ляхов Г. М. Волны при подземном взрыве.— ПМТФ, 1984, № 3.
- Лучко И. А., Ляхов Г. М., Плаксий В. А., Ремез Н. С. Моделирование в динамике неводонасыщенного грунта твердой пористой многокомпонентной вязкопластической средой. Препринт № 83.07.— Киев: Ин-т проблем прочности АН УССР, 1983.
- Уилкинс М. Л. Расчет упругопластических течений.— В кн.: Вычислительные методы в гидродинамике. М.: Мир, 1967.
- Каширский А. В., Орленко Л. П., Охитин В. Н. Влияние уравнения состояния на разлет продуктов детонации.— ПМТФ, 1973, № 2.
- Ляхов Г. М. Основы динамики взрывных волн в грунтах и горных породах.— М.: Недра, 1974.
- Баум Ф. А., Орленко Л. П., Станюкович К. П. и др. Физика взрыва.— М.: Наука, 1975.
- Рихтмайер Р., Мортон К. Разностные методы решения краевых задач.— М.: Мир, 1972.
- Григорян С. С. Исследования по механике грунтов. Дис. д-ра физ.-мат. наук.—М.: МГУ, 1965.

Поступила 28/III 1985 г.